

東北大学 正員 倉西茂  
東北大学 正員 天吹哲哉

著者等はこれまでに鋼アーチに対する崩壊に至るまでの数値シミュレーションを多く行い、その基本的な特性を明らかにした。また、得た結果に基づいて、鋼アーチの面内極限強度の定量的評価に関する検討が現在著者等により進められており、(1)に報告された。鋼アーチの極限強度の定量的特性を解析的評価する際考慮すべき事項として、(1)解説の採用、(2)非線形の物理方法の実際。弯曲度による強度評価、(3)実験結果との比較、(4)実際の状態を考慮する解説の組合せである。又、面内極限強度に対する強度影響を及ぼす、等が挙げられる。(1)の問題は自身から多くの範囲研究が必要となることから、著者等は、(2)の事項を除く(3)の近似解説法による数値解説結果と(4)による比較検討を行った。その概要を以下に示す。

(2)の事項は、鋼アーチの面内極限強度と解説によるものと大差はない。細長比( $\lambda$ )は140と選ばれることとする。図-1は矩形断面を持つ2ヒンジ鋼アーチの强度駆け込み面内極限強度と解説によるものと大差はない。細長比( $\lambda$ )は140と選ばれることとする。本報告で採用した解説法は、荷重増分法である。又、逐次収束解説時の局部座標系を規定するためには基準状態は荷重の増分による変形量に応じて生ずる内力と、その応力と釣合の状態を保持するように設定する。

3. 解説法の詳細は文献2)と同様である。表-1は、2ヒンジアーチの結果は、放物線2ヒンジ法による結果と示す。荷重載荷下で得た極限強度を基準荷重<sup>2)</sup>で無次元化したものである。表-1は逐次近似法を併用した積分法<sup>3)</sup>による修正法と本方針による結果を示している。表-2は表-3に示すType-B、箱形断面に対する図-3に示す残留応力分布をもつアーチの極限強度を示す。表-3は、表-4は表-3に示す箱形断面および矩形セクションに対する結果をもつアーチの結果を示す。表-3に示す。

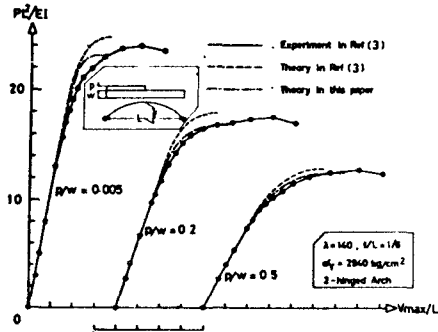


Fig. 1 A comparison between experimental results and theoretical ones

Table 1 Relationships between results by integration approach and by this approach

load ratio \ approach	this approach	Ref.(1)	improved Ref.(1)
0.25	0.363	0.364	0.356
0.5	0.446	0.418	0.445
0.75	0.573	0.499	0.570
0.99	0.954	0.805	0.962

N.B. steel arch with rectangular section  
 $L/l=0.15, \lambda=150, \sigma_y=2400 \text{ kg/cm}^2$

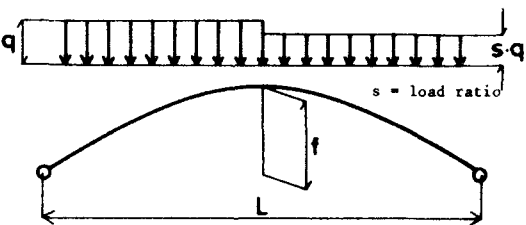


Fig. 2 Loading and configuration of arch

\* 軸力方向への作用方向の非線形挙動(2次元)を考慮して解説を行った。

(v). 断面のアロバー・ショントラス変化は、箱形断面の場合、最大で 6 % 程度である。

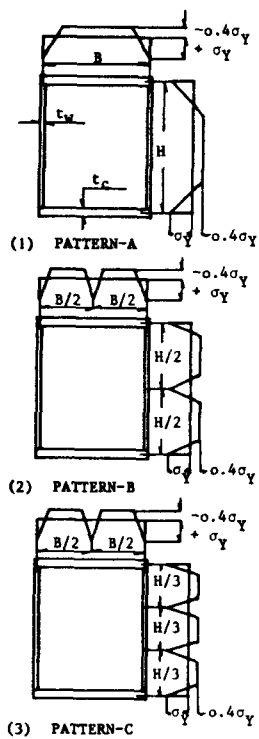


Fig. 3 Idealised patterns of residual stress distribution

Table 2 Effect of residual stress pattern on maximum load intensity

slenderness ratio	load ratio	no residual stress	PATTERN-A	PATTERN-B	PATTERN-C
100	0.5	0.601	0.606	0.568	0.565
	0.99	0.974	0.912	0.867	0.840
150	0.5	0.409	0.405	0.377	0.376
	0.99	0.888	0.701	0.668	0.672
200	0.5	0.293	0.279	0.264	0.263
	0.99	0.589	0.521	0.510	0.504
250	0.5	0.220	0.201	0.194	0.193
	0.99	0.386	0.370	0.368	0.365
N.B.	steel arch with box cross section ; TYPE-B ( $\alpha = 0.4$ ) $f/L = 0.15$ , $\sigma_y = 3600 \text{ kg/cm}^2$				

Table 3 Proportion of employed box cross sections

dimension	TYPE	TYPE-A	TYPE-B	TYPE-C	TYPE-D
$H/t_w$	190	190	190	60	
$B/H$	0.8	0.6	0.4	0.2	
$A_c/A_w$	1.2	0.9	0.6	0.3	
$t/H$	0.414	0.400	0.378	0.338	
$k/H$	0.343	0.320	0.286	0.228	
N.B.	$A_c$ : cover plate area, $A_w$ = web plate area				

Table 4 Effect of cross sectional configuration on maximum load intensity

slenderness ratio	load ratio	idealised cross section		box cross section (residual stress: PATTERN-A)			
		sandwich	rectangular	TYPE-A	TYPE-B	TYPE-C	TYPE-D
100	0.5	0.592	0.603	0.600	0.606	0.616	0.630
	0.99	0.960	0.976	0.902	0.912	0.926	0.951
150	0.5	0.412	0.400	0.402	0.405	0.408	0.409
	0.99	0.816	0.870	0.690	0.701	0.715	0.746
200	0.5	0.303	0.281	0.279	0.279	0.279	0.276
	0.99	0.572	0.578	0.521	0.521	0.522	0.532
250	0.5	0.229	0.208	0.203	0.201	0.200	0.196
	0.99	0.381	0.381	0.370	0.370	0.370	0.370
N.B.	steel arch with idealised or box cross section : $f/L = 0.15$ , $\sigma_y = 3600 \text{ kg/cm}^2$						

### 《参考文献》

- 1) Kuraishi, S. and Le-Du Lu : Load carrying capacity of two-hinged steel arches, Proc. of JSCE, No. 204, 1972
- 2) 飯石 茂・矢吹地哉 : 四方荷重の影響と角度, 大27-2-4 鋼構造論文集, 土木学会論文報告集, No. 272, 1978
- 3) 新家 敏・ほか : 3-4面内耐荷力解説(模型実験), 土木学会論文報告集, No. 263, 1977